

ارزیابی تیرهای فلزی تقویت شده با الیاف بسیپاری (پلیمری) مرکب

علیرضا رهایی (استاد)

سیدحامد غفاری (دانشجوی کارشناسی ارشد)

دانشکده‌ی مهندسی عمران و محیط زیست، دانشگاه صنعتی امیرکبیر

مهندسی عمران شریف
دوری ۲-۲۷، شماره ۱، ص. ۱۵-۱۹

با توجه به موفقیت کاربرد الیاف بسیپاری مرکب در تقویت و مرمت سازه‌های بتنی، ایده‌ی کاربرد آنها در سازه‌های فولادی نیز در چند سال اخیر با انجام آزمایش‌ها و تحقیقات گسترده توسعه یافته است. هدف از این تحقیق، بررسی عملکرد تیرهای فولادی خمشی تقویت شده با ورق‌های کامپوزیت است. در این تحقیق تیرهای فلزی با مقطع I به طول ۲۰۰۰ میلی‌متر مورد آزمایش قرار گرفتند. از ۶ تیر مورد نظر ۲ نمونه در تمام طول خود و ۲ نمونه‌ی دیگر فقط در بخشی از طول خود با ورق‌های کامپوزیتی تقویت شدند و ۲ نمونه تیر نیز بدون تقویت به عنوان تیرهای شاهد تحت بارگذاری قرار داده شد. تیرهای شاهد و تقویت شده تحت بارگذاری استاتیکی قرار گرفتند که ضمن تهیه‌ی نمودار نیرو- تغییر مکان، مقدار بار حد تسلیم تیرها و میزان بارگسیختگی ورق‌های کامپوزیتی مشخص و مطالعه شد. به منظور اعتبارسنجی نتایج، یک مدل از تیرهای آزمایشی با استفاده از نرم‌افزار ANSYS مدل‌سازی و به روش اجزاء محدود تحلیل شد. نتایج آزمایش‌ها نشان می‌دهند که ظرفیت خمشی تیرهای تقویت شده با ورق کامپوزیت افزایش می‌یابد، و مقاومت تیرهایی که در تمام طول خود تقویت شده‌اند نسبت به تیرهایی که فقط در میانه‌ی طول خود مورد تقویت قرار گرفته‌اند نیز افزایش قابل توجهی داشته است.

rahai@aut.ac.ir
s_hamed_ghaffari@yahoo.com

واژگان کلیدی: مقاوم‌سازی، تیر فلزی، الیاف بسیپاری مرکب (FRP).

۱. مقدمه

ناهمسانگرد بودن ورق کامپوزیتی FRP و لزوم طراحی بهینه‌ی این سیستم اشاره کرد.^[۱]

تجربیات اخیر در آمریکا، ژاپن و سوئیس نشان داده است که استفاده از ورق کامپوزیت تأثیر زیادی در بهبود عملکرد سازه‌های فلزی دارد.^[۲]

آزمایش‌های زیادی در زمینه‌ی بررسی نحوه‌ی اتصال اجزاء تقویت شده با ورق FRP انجام شده است. برخی از این آزمایش‌ها در سال ۲۰۰۵ انجام شده است که نتایج حاصله نشان‌گر اتصال مناسب بین فولاد و ورق کامپوزیتی است.^[۳] در این مطالعات یک مدل تحلیلی مناسب برای درک بهتر اتصال بین فولاد و ورق کامپوزیت نیز ارائه شده است.

در سال ۲۰۰۶، در تحقیق دیگری که به منظور کاهش میزان تنش در انتهای ورق FRP صورت گرفت، محققین با استفاده از روابط نظری و اثبات آنها توسط آزمایش‌های انجام‌گرفته به یک طول پوششی مناسب برای قطع ورق کامپوزیت دست یافتند.^[۴]

در سال ۲۰۰۶ نیز تحقیقاتی در زمینه‌ی مقاوم‌سازی مقاطع توخالی مستطیلی انجام شد.^[۵] این مقاطع که غالباً در برش ضعیف‌اند با ورق FRP تقویت شد و نتایج قابل تأمل و جالبی به دست آمد.

در خصوص تقویت خمشی اعضای فلزی، پیش‌تر بررسی‌هایی در جهت تقویت

استفاده از روش‌های مختلف برای ایمن‌سازی و بهسازی لرزه‌ی سازه‌ها با توجه به نقایص موجود در طراحی و اجرای آنها بسیار متداول است. در نقاط مختلف دنیا تعداد زیادی از سازه‌های فلزی -- نظیر پل‌ها، سکوها، ساحلی، تجهیزات فلزی و ساختمان‌ها -- نیاز به مقاوم‌سازی دارند. روش‌های ترمیم و مقاوم‌سازی سازه‌های فلزی موجود، عمدتاً مشتمل بر جداکردن عضو و جایگذاری عضو جدید یا نصب صفحه‌ی فلزی اضافی بر روی عضو آسیب دیده است، اما عموماً این صفحات بزرگ و سنگین‌اند و نصب و اجرای آن‌ها مشکلات بسیاری دارد. بنابراین استفاده از ورق‌های کامپوزیتی یک روش جایگزین و مناسب برای تقویت سازه‌های فولادی است که علاوه بر این، بهبود دوام تیرهای تقویت شده را در مقابل شرایط مختلف محیطی به همراه خواهد داشت.

استفاده از ورق کامپوزیتی FRP از مزایای متعددی برخوردار است که از آن‌جمله می‌توان به افزایش مقاومت در برابر خوردگی، بهبود مشخصات مکانیکی، بهبود مشخصات باربری، سبکی و سهولت در اجرا اشاره کرد. البته در کنار مزایای موجود، این روش نیز مانند روش‌های دیگر دارای یک سری کاستی‌هایی است که می‌توان به وابستگی زیاد عملکرد و کارایی الیاف به نحوه‌ی اجرا،

تاریخ: دریافت ۱۳۸۷/۷/۲۹، اصلاحیه ۱۳۸۷/۱۱/۷، پذیرش ۱۳۸۸/۱۰/۲۹.

تیر خمشی کامپوزیتی (تیر فلزی - بتنی) انجام شده که این تحقیقات علاوه بر بارگذاری استاتیکی، شامل بارگذاری دینامیکی و حتی انجام آزمایش‌های مربوط به خستگی نیز هست، که تماماً نشان‌گر رفتار مناسب این سازه‌ها در کنار تقویت با مصالح کامپوزیتی است. در مورد تیرهای فلزی - خمشی نیز تحقیقاتی انجام شده است:

در سال ۲۰۰۱، در یکی از دانشگاه‌های آمریکا، آزمایشی بر روی تیری با مقطع $14 \times W12$ ، با طول ۲۷۴۰ میلی‌متر انجام شد. برای اعمال شرایط خوردگی، در قسمتی از تیر شکافی (NOTCH) در ناحیه‌ی کششی ایجاد شده بود.^[۶]

در این آزمایش «شکست در نمونه‌های تقویت‌شده» به دلیل جدا شدن ورق FRP گزارش شده است. در یکی از نمونه‌ها جدا شدن ورق FRP از محل شکاف در وسط تیر شروع و در طول تیر ادامه یافت و به انتهای ورق FRP رسید. در نمونه‌ی دیگر ورق FRP تماماً و یک‌باره از تیر جدا شد. جداشدگی به دلیل تمرکز تنش در محل شکاف بوده است.

در سال ۲۰۰۵ در آزمایش دیگری، تیرهایی با مقطع جمع‌بندی با ورق کامپوزیت تقویت شدند. هدف از این آزمایش بررسی عملکرد و اثر تقویت تیرهای ضعیف‌شده با دو نوع ورق FRP مختلف بود. بدین منظور محققان تیرهایی به طول ۱۸۰۰ میلی‌متر با تکیه‌گاه‌هایی ساده در نظر گرفتند.^[۷]

برخی از این تیرها با ورق کامپوزیتی با مدول کشسانی بالا، و برخی دیگر با مدول کشسانی معمولی تقویت شده بودند. تیرهای دیگر مشابه دو مورد قبل تقویت شدند، با این تفاوت که ورق تقویتی آن‌ها فقط در انتهای عضو نبود بلکه جداره‌ی مقطع را نیز پوشانده بود. بر مبنای نتایج به دست آمده، در تیر اول گسیختگی در بار ۴۵ کیلو نیوتن و در محل خمش خالص و در ورق FRP متمرکز شده بود. تیر دوم، در مقایسه با تیر اول، رفتار شکل‌پذیرتری از خود نشان داد و بیشترین نیرویی که تحمل کرد ۵۰ کیلو نیوتن بود. تیرهای سوم و چهارم در مقایسه با نمونه‌های اولیه، شکل‌پذیری کم‌تری از خود نشان دادند.

آزمایش دیگری در سال ۲۰۰۵ بر روی تیرهایی با مقطع H انجام شد که هدف از آن بررسی عملکرد تیر فلزی تقویت‌شده با ورق FRP با دو نوع چسب مختلف بود. همچنین در این آزمایش، عملکرد تیر تقویت‌شده با دو لایه ورق کامپوزیت نیز مورد ارزیابی قرار گرفته است.^[۸] طول تیرهای تقویت‌شده ۲۵۰۰ میلی‌متر بود که تیرها در ۲۰۰۰ میلی‌متری وسط دهانه تقویت شده بودند. بر مبنای نتایج این آزمایش، مقاومت تیر تقویت‌شده به میزان ۹/۲ درصد افزایش یافته بود. همچنین در نمونه با دو لایه تقویت ورق FRP، علاوه بر این که هیچ جداشدگی در طول آن گزارش نشده، از نظر مقاومت نیز نسبت به نمونه‌های قبلی افزایش قابل توجهی داشته است.

با ارزیابی تجربیات انجام‌شده‌ی قبلی و به منظور ادامه‌ی برنامه‌های علمی و تحقیقاتی در داخل کشور یک برنامه‌ی مطالعاتی تحلیلی و آزمایشگاهی برای بررسی تیرهای فلزی تقویت‌شده با ورق FRP تدوین شد که نتایج آن در این نوشتار ارائه می‌شود.

۲. برنامه‌ی آزمایشگاهی

۲.۱. نمونه‌های آزمایشی و جزئیات آنها

به منظور بررسی اثر ورق‌های کامپوزیتی بر ظرفیت خمشی تیرهای فلزی، ۶ تیر فلزی از نوع IPE۱۴ با طول ۲۰۰۰ میلی‌متر در نظر گرفته شد. در هر گروه تعداد تیرها ۲ عدد بوده که چنین دسته‌بندی می‌شوند:

- نمونه‌های شاهد (CG)^۱: این نمونه‌ها در هیچ قسمتی از طول خود تقویت نشده و فقط برای مقایسه‌ی نتایج مورد بارگذاری قرار گرفتند.

- نمونه‌های تقویت‌شده‌ی گروه اول (RG۱): این نمونه‌ها تنها در ۱۰۰۰ میلی‌متری دهانه توسط ورق FRP مورد تقویت قرار گرفتند.

- نمونه‌های تقویت‌شده‌ی گروه دوم (RG۲): این نمونه‌ها در طول ۱۷۰۰ میلی‌متری دهانه با ورق FRP تقویت شدند.

ورق‌های FRP از نوع لمینیت کربن بودند که مشخصات آنها در جدول ۱ ارائه شده است. بر اساس مطالعات انجام‌شده چسب به‌کار رفته در این آزمایش برای اتصال لمینیت‌ها به تیرهای فلزی از نوع سیکا در نظر گرفته شد. مشخصات این نوع چسب در جدول ۲ ارائه شده است. همچنین در این آزمایش جنس فولاد مصرفی از نوع ST۳۷ بود.

با توجه به مقررات ملی ساختمانی ایران، نظر به این که طول تیرها ۲۰۰۰ میلی‌متر و فاصله‌ی بین تکیه‌گاه‌ها ۱۸۰۰ میلی‌متر است، لذا این تیرها در رده‌ی تیرهای بدون اتکای جانبی قرار می‌گیرند.

$$L_c = \min \left\{ \begin{array}{l} \frac{635b_f}{\sqrt{F_y}} \\ \frac{14 \times 1.5}{\left[\frac{d}{A_f}\right] \times F_y} \end{array} \right. \rightarrow L_c = 950 \text{ mm}$$

$$L_b = 1800 \text{ mm}$$

L_c طول مهرنشد، L_b فاصله بین دو تکیه‌گاه جانبی، b_f پهنای بال فشاری، d ارتفاع کلی نیم‌رخ، A_f سطح مقطع بال فشاری و F_y حد جاری شدن فولاد.

جدول ۱. مشخصات مکانیکی ورق لمینیت.

Laminates CFK ۱۵/۲۰۰۰	
مدول کشسانی (GPa)	> ۱۵°
مقاومت کششی (MPa)	۲۵۰°
عرض (mm)	۵°
ضخامت (mm)	۱/۴

جدول ۲. نتایج آزمایش.

نام نمونه	بیشترین بار تحمل شده (kN)	میزان تغییر مکان متناظر با بار بیشینه (mm)	بار جدایش FRP (kN)	میزان تغییر مکان در لحظه‌ی جدایش FRP (kN)
CG-۰	۸۸/۹	۱۶/۱۷	—	—
CG-۱	۸۸/۳	۱۶/۱۲	—	—
RG۱-۱	۹۸/۴۲	۳۰/۷۸	۹۸/۲۸	۳۰/۷۸
RG۱-۲	۹۷/۵	۲۹/۷	۹۹/۱۲	۳۱/۵
RG۲-۱	۱۰۶/۶	۲۷/۵	۹۸/۸	۴۵/۸۸
RG۲-۲	۱۰۶/۷	۲۸/۸	۹۸/۸۲	۴۵/۹۸

از المان Solid45 استفاده شد و نوع مصالح برای تیر فلزی به غیرخطی و برای چسب و ورق FRP به خطی تعریف شد. با توجه به شرایط بارگذاری در آزمایشگاه، الگوی بارگذاری در نرم افزار به صورت الگوی نیروی یک سوپه‌ی افزایشی در نظر گرفته شد.

اعمال شرایط بارگذاری به تیرها به‌گونه‌ی بود که تیرها به‌صورت با اتکا مورد ارزیابی قرار گیرند. بدین منظور، در دو نقطه صفحاتی به تکیه‌گاه اتصال داده شد تا با رعایت فاصله‌ی مناسب از بال تیر، از پیشش جانبی آن جلوگیری کند (شکل ۱).

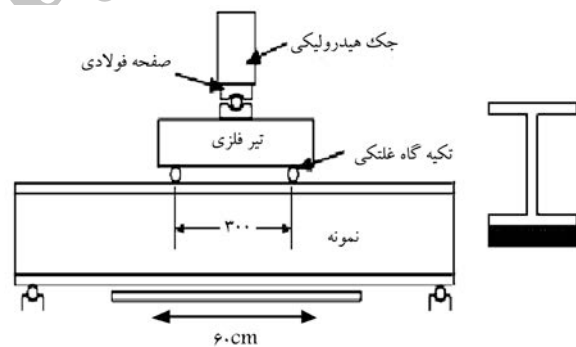
۳. نحوه‌ی بارگذاری

نمونه‌ها در قاب فولادی آزمایشگاه سازه دانشگاه صنعتی امیرکبیر آزمایش شدند. نیرو توسط جک ۱۰۰۰ کیلونیوتنی به تیرها اعمال شد و تغییر مکان‌ها توسط تغییر مکان‌سنج (LVDT) قرائت شدند. LVDTها یکی در میانه‌ی تیر و دیگری در یک سوم دهانه‌ی تیر قرار داده شده بودند. بارگذاری تیرها به‌صورت استاتیکی انجام شد.

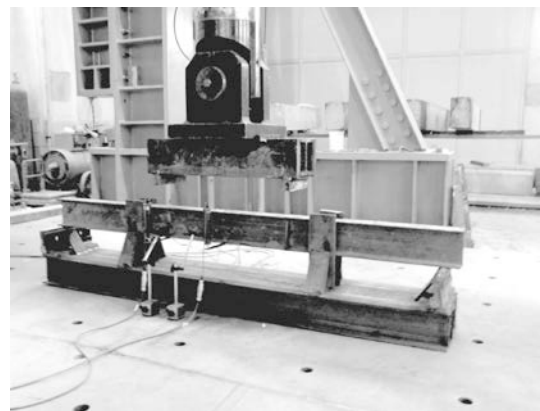
از طرف دیگر با توجه به نحوه‌ی بارگذاری و رعایت استاندارد مقررات ملی ساختمانی ایران به‌منظور جلوگیری از جاری شدن جان، یک سری سخت‌کننده، با توجه به ضوابط موجود در طراحی، برای جایگذاری در جان تیرها طراحی و اجرا شد. (شکل ۲)

۴. تحلیل مدل

در این تحقیق، به‌منظور بررسی صحت نتایج به دست آمده در آزمایشگاه، یک مدل‌سازی در نرم‌افزار ANSYS انجام شد. مدل‌سازی به‌صورت سه‌بعدی و طبق شرایط نمونه‌های آزمایشگاهی در نرم‌افزار مورد ارزیابی قرار گرفت. در این مدل‌سازی



شکل ۱. نحوه‌ی جلوگیری از پیشش جانبی تیر.

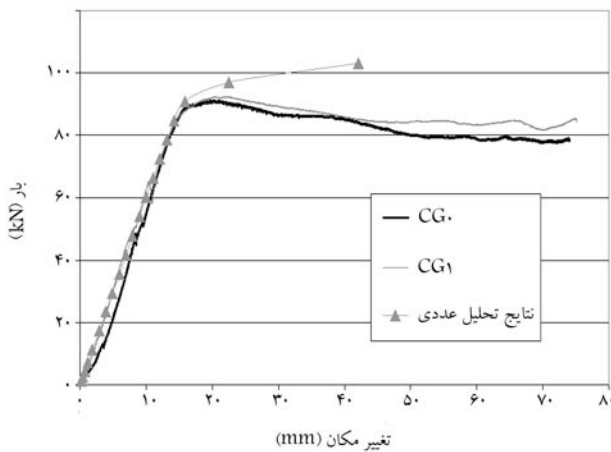


شکل ۲. نحوه‌ی بارگذاری تیر در قاب.

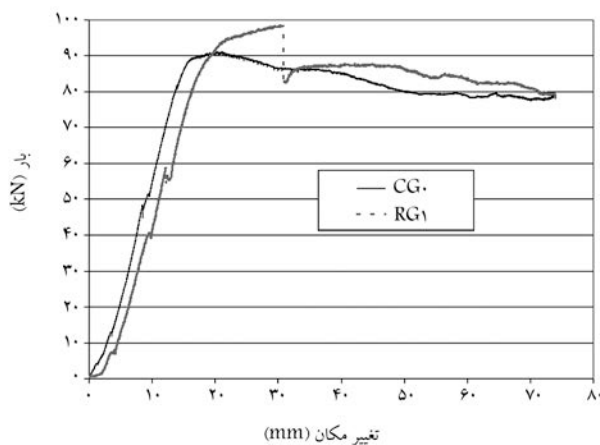
۵. نتایج

ابتدا نمونه‌های شاهد (CG) مورد آزمایش قرار گرفتند. نتایج نمودار بار-تغییر مکان نمونه‌های شاهد، مشتمل بر مطالعات عددی و آزمایشگاهی، در شکل ۳ ارائه شده است. چنان‌که مشاهده می‌شود، نمونه‌ی شاهد در بار ۸۸/۹ کیلونیوتن جاری شد و سپس بارگذاری ادامه داده شد تا شرایط تسلیم به‌طور کامل انجام شود. نمودار فوق همچنین بیانگر مطابقت خوب نتایج آزمایشگاهی و عددی است.

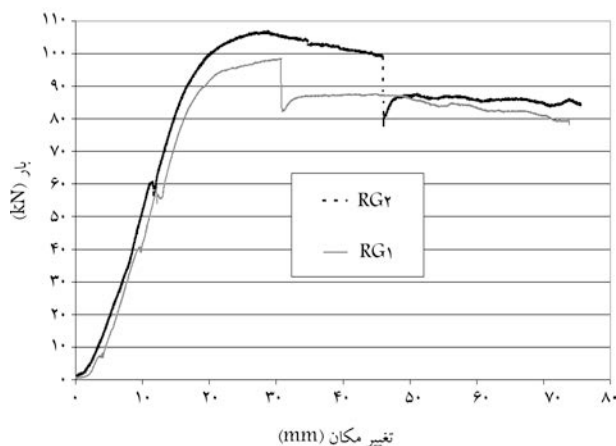
در مرحله‌ی بعد تیر تقویت‌شده با طول ورق کامپوزیتی ۱۰۰۰ میلی‌متر، مورد بارگذاری قرار گرفت. در شکل ۴ نمودار بار-تغییر مکان یکی از این تیرها (RG۱) به‌همراه نمونه‌ی شاهد (CG) برای مقایسه‌ی نتایج ارائه می‌شود. براساس این نمودار در تیر تقویت‌شده شیب ناحیه‌ی خطی مشابه تیر تقویت‌نشده است، اما چنان‌که مشاهده می‌شود افزایش مقاومت مناسبی ایجاد شده است.



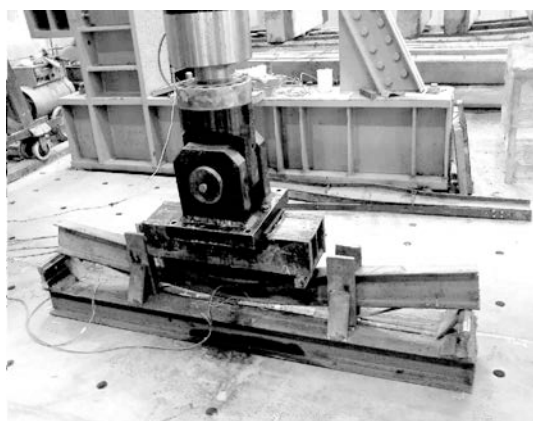
شکل ۳. نمودار بار-تغییر مکان و نتایج تحلیل عددی و آزمایشگاهی نمونه‌ی شاهد (CG).



شکل ۴. نمودار بار-تغییر مکان نمونه‌ی شاهد (CG) و نمونه‌ی تقویت شده (RG۱).



شکل ۷. نمودار بار- تغییر مکان نمونه‌های تقویت‌شده‌ی RG۱ و RG۲.



شکل ۸. تیر بارگذاری شده.

علاوه بر این، نمودار یادشده نشان می‌دهد که افزایش طول ورق کامپوزیت باعث به تعویق افتادن جدایش می‌شود؛ همچنین باعث خواهد شد که ورق کامپوزیت در تغییر مکان بزرگ‌تری جدا شود و این بدان معناست که در لحظه‌ی گسیختگی رفتار شکل پذیرتری قابل انتظار است.

علاوه بر نمودارهای فوق، نتایج آزمایش در جدول ۲ ارائه شده است. چنان که مشخص است در نمونه‌ی RG۱ میزان تغییر مکان متناظر با بار بیشینه، با میزان تغییر مکان در لحظه‌ی جدایش برابر است. این بدان معناست که لحظه‌ی جدایش زمانی است که تیر در حال تحمل بیشترین میزان باربری خود است. اما در نمونه‌ی RG۲ این دو پدیده هم‌زمان نیستند به طوری که تغییر مکان در لحظه‌ی جدایش ۱٫۵ برابر بزرگ‌تر از تغییر مکان متناظر با بار بیشینه است که نشان‌گر رفتار شکل پذیر این نمونه است. در ادامه در شکل ۸ نمونه‌ی از تیر بارگذاری شده در انتهای آزمایش ارائه می‌شود.

۶. نتیجه‌گیری

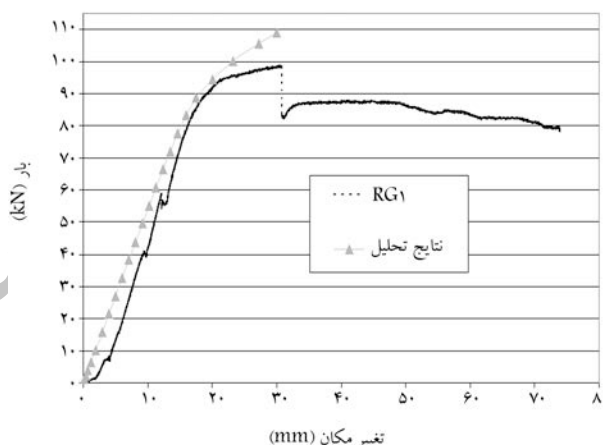
استفاده از ورق FRP به منظور تقویت اعضای فولادی با توجه به وزن ناچیز آنها، سرعت عمل بالا در اجرا و کارایی مکانیکی بسیار مفید است. نتایج آزمایش‌ها و بررسی‌های انجام‌شده در این پژوهش نشان می‌دهد که استفاده از ورق FRP تأثیر چندانی بر افزایش سختی در نمونه‌های فلزی ایجاد نمی‌کند.

بیشترین بار ثبت‌شده برای این نمونه ۹۸ کیلونیوتن است که در حدود ۱۲ درصد افزایش ظرفیت داشته است.

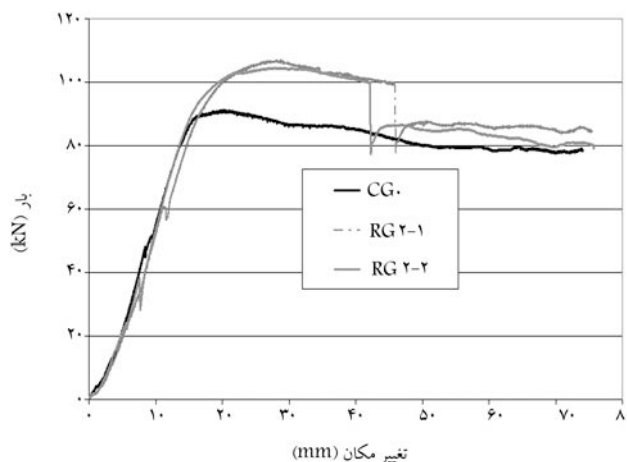
چنان که در نمودار مشخص است بعد از جدایش ورق کامپوزیت از تیر، کاهش شدیدی در روند بارگذاری اتفاق افتاده است. شکل ۵ نتایج تحلیل عددی مدل را نشان می‌دهد.

در شکل ۶ نمودار بار- تغییر مکان تیر با طول ورق تقویتی 170° میلی‌متر مشاهده می‌شود. در این نمودار برای مقایسه، نمودار نمونه‌ی شاهد نیز ارائه شده است. مشابه نمونه قبلی هیچ تغییری در شیب نمودار دیده نمی‌شود؛ علاوه بر این، بیشترین باری که نمونه تحمل کرده است معادل $106/6$ کیلونیوتن بوده و نسبت به نمونه‌ی شاهد در حدود ۲۰ درصد افزایش ظرفیت داشته است.

نکته‌ی مهمی که از این آزمایش نسبت به نمونه‌ی قبلی استنتاج می‌شود این است که در این حالت تیر به همراه ورق کامپوزیت وارد ناحیه‌ی غیرخطی شده و در حالی که افزایش تغییر مکان داشته، ورق کامپوزیت از آن جدا شده است. اما این روند در نمونه‌ی (RG۱) مشهود نیست به طوری که بعد از ورود تیر به ناحیه‌ی غیرخطی در مدت زمان کم‌تری بعد از افزایش تغییر مکان، ورق کامپوزیت از تیر جدا شده است (شکل ۷). در نمونه (RG۲) افزایش ظرفیت نسبت به نمونه قبلی در حدود ۹ درصد است.



شکل ۵. نمودار بار- تغییر مکان نتایج تحلیل عددی و آزمایشگاهی نمونه‌ی تقویت شده (RG۱).



شکل ۶. نمودار بار- تغییر مکان نمونه‌ی شاهد (CG) و نمونه‌ی تقویت‌شده (RG۲).

افزایش می‌یابد و ورق FRP زودتر جدا می‌شود. اما در نمونه‌ی RG۲ جدایش ورق FRP از وسط تیر بود، زیرا در این نمونه ورق کامپوزیت تا نزدیکی تکیه‌گاه ادامه داده شده بود و انتهای آن از ناحیه‌ی خمش بیشینه دور بود. همچنین چسبندگی مناسب کامپوزیت‌های کربنی باعث شد در تیرهای تقویت شده افزایش ۲۰ درصدی در مقاومت مشاهده شود.

علاوه بر این، با افزایش طول ورق FRP می‌توان به نتایج بهتری از لحاظ مقاومت در هنگام گسیختگی دست یافت، به طوری که بر مبنای مشاهدات در آزمایش‌ها، در نمونه‌ی RG۱ جدایش در ابتدا و انتهای ورق FRP بود، زیرا در این نمونه انتهای ورق کامپوزیت در نزدیکی محل خمش بیشینه واقع شده بود. از طرف دیگر، با توجه به این که انتهای ورق FRP محل اصلی تمرکز تنش است، تنش به سرعت

Archive of SID

پانویس

1. Control Group

منابع

- Cadi, J.M.C. and Stratford, T.J., *Strengthening Metallic Structures Using Externally Bonded Fiber-Reinforced Composites*, London, CIRIA (2004).
- Zhao, X.L. "State-of-the-art review on FRP strengthened steel structures", *Engineering Structure, ELSEVIER* (29), pp.1808-1823 (2007).
- Fawsia, S. and Zhao, X.L. "Investigation into the bonded between CFRP and steel tubes", *In The Second International Conference on FRP Composites in Civil Engineering*, (2005).
- Al-Mahaidi, R. and Fawsia, S. "Bonded characteristics between CFRP and steel plates in double strap joints", *Advances in Steel Construction-An International Journal*, **1** (2) pp. 17-28 (2005).
- Zhao, X.L. and Fernando, D. "CFRP strengthened RHS subjected to transverse end bearing force", *Engineering Structure, ELSEVIER*, (28) pp.1555-1565 (2006).
- Photiou, N.K.; Hollaway, L.C. and Chryssanthopoulos, M.K. "Strengthening of an artificially degraded steel beam utilizing a carbon/glass composite system" *ELSEVIER, Construction and Building Materials*, **20**, pp. 11-21 (2006).
- LIU, X. and Silva, P. "Rehabilitation of steel bridge members with FRP composite materials", *Composites in Construction*, Porto, Portugal, pp. 613-617 (2001).
- Pierluigi Colombi, Carlo Poggi. An experimental, analytical and numerical study of the static behavior of steel beams